

ЭЛЕКТРИЧЕСКИЕ И МАГНИТНЫЕ СВОЙСТВА

УДК 537.874.72

ПОГЛОЩЕНИЕ МИКРОВОЛНОВОГО ИЗЛУЧЕНИЯ НА ЧАСТОТЕ 2.45 ГГц КОМПОЗИЦИОННЫМ МАТЕРИАЛОМ НА ОСНОВЕ ПЫЛИ ДУГОВЫХ СТАЛЕПЛАВИЛЬНЫХ ПЕЧЕЙ

© 2023 г. А. П. Анзулевич^a, *, Д. А. Павлов^a, Д. А. Калганов^{a, b}, Л. Н. Бутько^a,
В. А. Толкачев^a, Л. Ю. Коваленко^a, Ц. Пенг^c

^aЧелябинский государственный университет, ул. Бр. Кашириных, 129, Челябинск, 452500 Россия

^bНациональный исследовательский университет ИТМО, ул. Ломоносова, 9, Санкт-Петербург, 191002 Россия

^cЦентральный южный университет, Институт переработки полезных ископаемых и биоинженерии Хунань, Чанша, Лу Шань Нань Лу, 932, 410083 Китай

*e-mail: anzul@list.ru

Поступила в редакцию 29.12.2022 г.

После доработки 18.02.2023 г.

Принята к публикации 26.02.2023 г.

Исследованы физико-химические превращения и электромагнитные свойства композита на основе пыли дуговых сталеплавильных печей и углеродсодержащего материала (гидролизный лигнин). Резонаторным методом получены значения комплексной диэлектрической проницаемости при нагреве исследуемого материала до 800°C. Для комнатной температуры эффективные значения магнитной проницаемости и потеря композитной смеси вычислены путем решения уравнения Бруггемана согласно теории эффективной среды. При помощи ортогональной регрессии найдены значения магнитной проницаемости при нагреве. Методом конечных элементов с учетом реальных свойств и физико-химических превращений построена численная модель нагрева плотной упаковки из нескольких слоев гранул исследуемого материала.

Ключевые слова: микроволновый нагрев, фазовые превращения, композиционный материал, электромагнитные свойства, диэлектрическая проницаемость, магнитная проницаемость, пыль ДСП, теория эффективной среды

DOI: 10.31857/S0015323022601994, **EDN:** VIPORI

ВВЕДЕНИЕ

Актуальность исследования процессов восстановления металлов из пыли дуговых сталеплавильных печей (ДСП) связана с высокой практической значимостью оптимизации данных технологий в металлургической промышленности. При производстве стали и чугуна, а также плавлении поковок на предприятиях Российской Федерации происходит образование до 2000 тонн пыли ДСП в сутки. Разработаны и применяются подходы, направленные на безопасное хранение, либо переработку этих отходов на разных стадиях [1]. Однако большинство таких технологий экономически нецелесообразны или небезопасны с точки зрения выбросов в окружающую среду токсичных веществ, образующихся в процессе взаимодействия с флюсом, либо адсорбированных на поверхности пыли [2]. При карботермическом восстановлении металлов из данного материала уменьшается температура протекающих процессов и связываются опасные летучие соединения. Применение в качестве восстановителя биоугля

(biochar) позволяет также сократить так называемый углеродный цикл. Кроме того, для производства биоугля возможно использование другого типа отходов – гидролизного лигнина, в большом количестве производимого целлюлозно-бумажной промышленностью [3]. Исследованиям химических свойств, электромагнитных и механических характеристик смеси пыль ДСП – биоуголь – связующее посвящен ряд научных работ [4, 5]. Описаны также перспективы использования магнитных свойств пыли ДСП для согласования импеданса в материале из ее смеси с другими видами отходов, такими как конвертерная [6] и доменная пыль [7].

Микроволновое излучение широко применяется в различных сферах промышленности по обработке материалов, которые связаны с изменениями их микроструктуры (измельчение, спекание) и фазового состава. К основным преимуществам его использования относят экологическую чистоту, масштабируемость, высокую эффективность, а также возможность точного контроля нагрева

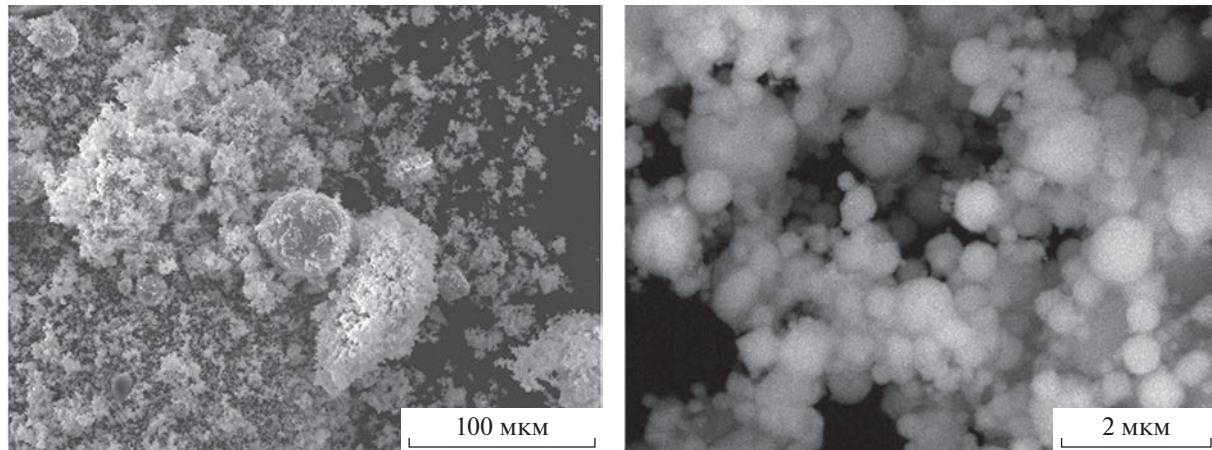


Рис. 1. Электронно-микроскопические изображения образца пыли ДСП при различном увеличении.

при изменении распределения электромагнитного поля. Поглощение электромагнитных волн в материалах сложного состава при малом размере частиц составляющих компонентов может определяться их эффективными характеристиками [8]. Изменение этих характеристик с температурой, как следствие внутрифазовых процессов, либо связанное с химическими превращениями, представляет интересную тему для комплексного экспериментально-теоретического исследования.

В сантиметровом диапазоне ЭМВ смесь пыли и биоугля обладает сильными поглащающими свойствами [7], что приводит к эффективному преобразованию электромагнитной энергии в тепловую. В других работах, посвященных отдельным компонентам смеси, указывается на зависимость их диэлектрической и магнитной проницаемости от размера и формы частиц, плотности смеси и частоты электромагнитного поля. Так, для порошка из частиц магнетита размером менее 50 мкм известно наличие максимума действительной части магнитной проницаемости μ' при частоте ~2.5 ГГц и широкого пика магнитных потерь μ'' в диапазоне частот 706 МГц–3.21 ГГц [9]. Фаза франклинита $ZnFe_2O_4$ также может являться эффективным поглотителем ЭМВ сантиметрового диапазона с максимумами диэлектрических и магнитных потерь, зависящими от размера частиц [10]. Биоуголь, применяемый в качестве восстановителя в данной работе, имеет высокую электропроводность, и вместе с остальными компонентами смеси обеспечивает как высокое поглощение, так и возможные экранирующие свойства [11].

В связи с актуальностью данной темы и возможностью логического продолжения предыдущих работ, посвященных расчету эффективных характеристик композиционного материала на

основе пыли электродуговых печей, задачей данного исследования было выбрано экспериментальное определение его диэлектрической и магнитной проницаемостей и потерь. Далее, используя полученные значения диэлектрической и магнитной проницаемостей и потерь исходной смеси порошков в качестве входных параметров, становится возможным провести численное моделирование взаимодействия микроволнового излучения с гранулами из этого материала для оценки эффективности микроволнового нагрева нескольких слоев из таких гранул в рамках широко распространенного технологического процесса обработки данного материала в форме гранул [7].

ОБРАЗЦЫ И МЕТОДЫ ИЗМЕРЕНИЙ

В статье исследована пыль, полученная при электродуговой плавке низкоуглеродистой стали. Исследуемую смесь получали перемешиванием в планетарной мельнице PULVERISETTE 6, FRITSCH (30 шаров WC, 8 мм, 15 мин с частотой вращения 600 мин^{-1}) большого количества исходного материала для обеспечения однородности фазового состава. Микроструктура пыли была изучена методами электронной микроскопии и микрозондового элементного анализа при помощи JSM 6510l, JEOL (без напыления с фиксацией на медную ленту). Ее состав представляет собой смесь частиц различной геометрии из сложных оксидов (рис. 1).

Размеры наблюдаемых частиц лежат в широком диапазоне значений, от минимального наблюдаемого при разрешении в 10 нм, до 50 мкм. При этом в крупных частицах, согласно z -контрасту, наблюдаются включения различных фаз.

Фазовый состав пыли был исследован при помощи стандартной порошковой методики рент-

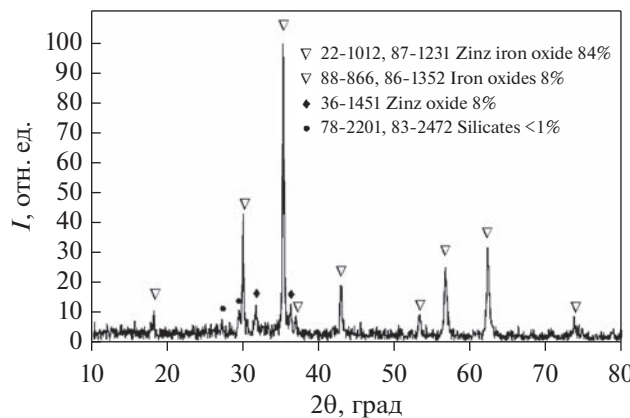


Рис. 2. Рентген-дифракционный анализ фазового состава исследуемых образцов пыли.

геновской дифракции (BRUKER ADVANCE D8, CuK α излучение) и описан с использованием базы данных PDF-2 (рис. 2).

Наибольшую объемную долю в данном образце составляют оксиды железа и цинка, при этом выявлено также до 6 других соединений, общее содержание которых, тем не менее, не превышает 1 об. %. Среди обнаруженных фаз можно выделить франклинит (22-1012) и магнетит (86-1352), обладающие ферромагнитными свойствами [12].

В данном исследовании был использован биоуголь, аналогичный описанному в предыдущих работах [8, 13], отличительными характеристиками которого являются развитая поверхность и высокая проводимость ($\sigma = 0.025$ См/м). Минимальное необходимое количество восстановителя, согласно предыдущим исследованиям, может быть выбрано равным 10% от массы пыли ДСП. Для формирования образцов в виде гранул и пластин прямоугольного сечения дополнительно применяли 0.5% связующего вещества (бентонит), использование которого обусловлено достаточностью и термической стабильностью [14].

Для получения представлений о химических превращениях в смеси с содержанием 10% восстановителя получены данные дифференциальной сканирующей калориметрии в среде аргона (скорость нагрева 10 К/мин, начальная масса образца $m_s \approx 60$ мг, F5 Jupiter, NETZSCH). Согласно этим данным, в смеси протекает ряд химических восстановительных реакций, характеризующихся уменьшением массы и поглощением энергии (рис. 3).

Первоначальное изменение массы при температурах до 150°C отвечает удалению физически адсорбированной воды. Наличие небольшого перегиба на зависимостях в области около 500°C

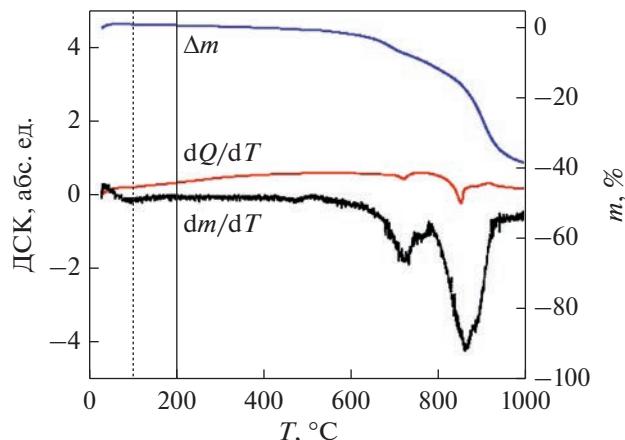


Рис. 3. Кривые термолиза смеси пыли ДСП и восстановителя.

может быть объяснено разложением небольшого количества соединений кальция [15], не оказывающих существенного влияния на электродинамические свойства смеси. Восстановление большей части оксидов происходит при температурах 780–910°C. При температурах выше 920°C продолжаются восстановительные реакции с оксида-ми железа.

Согласно данным электронной микроскопии и элементного анализа, в состав исследуемого материала входят также частицы со структурой ядро-оболочка сложного состава $ZnFe_2O_4$ — ZnO /силикаты и Fe_2O_3 — Fe_3O_4 / FeO (см. также [15]). Электромагнитные свойства таких систем могут исследоваться в разных приближениях теории эффективной среды (ТЭС), либо методом ко-нечных элементов [16].

Для вычисления эффективных диэлектрической и магнитной проницаемостей самой пыли ДСП можно использовать ТЭС, так как материал представляет собой неупорядоченную однородную смесь частиц различных компонент. Это достигается за счет перемешивания в планетарной мельнице и подтверждается данными электронной микроскопии и рентген-дифракционного анализа. Также ТЭС использовали для вычисления эффективной проницаемости смеси пыли ДСП, порошка пиролизованного лигнина и связующего. В рамках ТЭС использовали уравнение Бруггемана, так как размеры частиц компонент смеси порошков несизмеримо малы по сравнению с длиной волны на частоте 2.45 ГГц.

В дальнейшем композиционный материал на основе смеси порошков пыли ДСП, биоугля и бентонита формировали в виде сферических гранул диаметром $d = 8$ мм при помощи процесса пеллетизации, описанного в работе [17]. Считали, что

распределение компонент в грануле равномерное. Образцы в виде гранул использовались для экспериментального исследования диэлектрической проницаемости резонаторным методом в процессе нагрева.

Образцы в виде тонких прямоугольных пластин из смеси пыли ДСП и биоугля изготавливали для измерения коэффициента отражения при частичном заполнении прямоугольного волновода для оценки вклада магнитной проницаемости в изменение электромагнитных характеристик материала.

Дополнительно, численно исследовали взаимодействие микроволнового излучения с плотноупакованной упорядоченной структурой из слоев полученных гранул. В этом случае непосредственно решали уравнения Максвелла методом конечных элементов для получения распределения электромагнитных полей и плотности поглощенной электромагнитной энергии в гранулах на разной глубине плотноупакованной структуры.

Нагрев части измерительной линии с образцом осуществляли при помощи индукционной печи (ПВЧ-3-200/400В, РЭЛТЕК) и медного индуктора без регулировки скорости нагрева. Измерение температуры проводили по данным термопары (ТХА тип К), расположенной на внешней поверхности линии. Для предотвращения конкурирующих окислительных реакций с кислородом воздуха измерительную линию заполняли аргоном.

Для экспериментальных исследований электромагнитных характеристик смеси пыли ДСП и биоугля в сантиметровом диапазоне ЭМВ применяли метод прямоугольного резонатора [8]. Использовали резонатор в виде отрезка волновода 95×45 мм с подвижными замыкающим поршнем и диафрагмой. Компоненты диэлектрической проницаемости определяли, как в работе [18]:

$$\epsilon' = 1 + \frac{f_0 - f_s}{2f_s} \frac{V_0}{V_s}, \quad (1)$$

$$\epsilon'' = \left[\frac{1}{Q_s(1 + \beta_s)} - \frac{1}{Q_0(1 + \beta_0)} \right] \frac{V_0}{4V_s}, \quad (2)$$

$$\beta_{0,s} = \frac{1 + \sqrt{R_{0,s}}}{1 - \sqrt{R_{0,s}}}, \quad (3)$$

где f_0 и f_s , Q_0 и Q_s , β_0 и β_s , R_0 и R_s – резонансные частоты, добротности, величины связи, коэффициенты отражения для пустого резонатора (индекс 0) и резонатора с образцом (индекс s) соответственно, V_0 – объем резонатора, V_s – объем образца. Согласно известным литературным данным длина волны в таком материале на частоте 2.45 ГГц значительно превышает размер гранулы при комнатной температуре [8, 19], кроме того, внесение образца в резонатор не вызывало сильного искажения резонансной кривой (рис. 4).

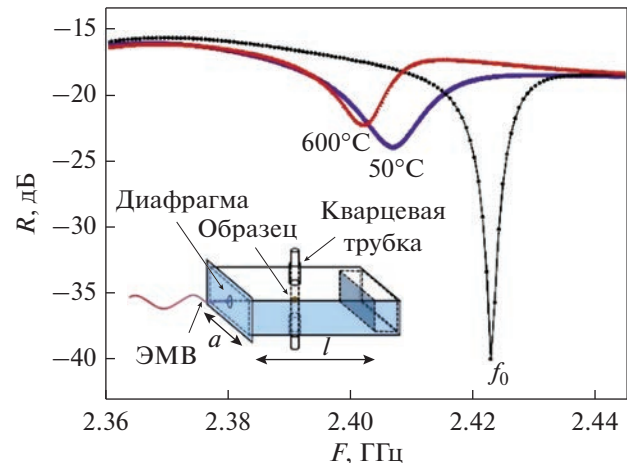


Рис. 4. Резонаторный метод исследования диэлектрической проницаемости.

Исследование магнитной проницаемости при малых значениях СВЧ-поля позволяет разделить конкурирующие эффекты влияния температуры на намагниченность. Однако ее измерение резонаторным методом в данной работе было затруднено необходимостью размещения образца в максимуме магнитной компоненты поля наряду с высокими проводящими свойствами образцов. Размещение образца у задней стенки резонатора (пучность магнитной составляющей для TE₁₀₁ моды на рис. 4, вставка) приводило к сильному искажению распределения электромагнитного поля и возрастанию добротности резонатора. Кроме того, измерения в данном положении были затруднены в связи с необходимостью равномерного нагрева образцов.

Для оценки вклада магнитной проницаемости в изменение электромагнитных характеристик материала, были проведены измерения при частичном заполнении прямоугольного волновода с различным положением образца из смеси пыли ДСП и биоугля в виде тонкой прямоугольной пластины [20, 21] (рис. 5).

Задача нахождения материальных констант, в том числе диэлектрической и магнитной проницаемости, по измеренным значениям отражения в общем виде может быть решена путем минимизации функции комплексных переменных:

$$F(\epsilon, \mu) = |S_{11}^{\text{изм}} - S_{11}| = 0, \quad (4)$$

где коэффициент отражения S_{11} , в случае взаимных электромагнитных волн (одна постоянная распространения) может быть записано в виде:

$$S_{11} = \frac{C \operatorname{ch}(\gamma l) + D \operatorname{sh}(\gamma l)}{A \operatorname{ch}(\gamma l) + B \operatorname{sh}(\gamma l)}. \quad (5)$$

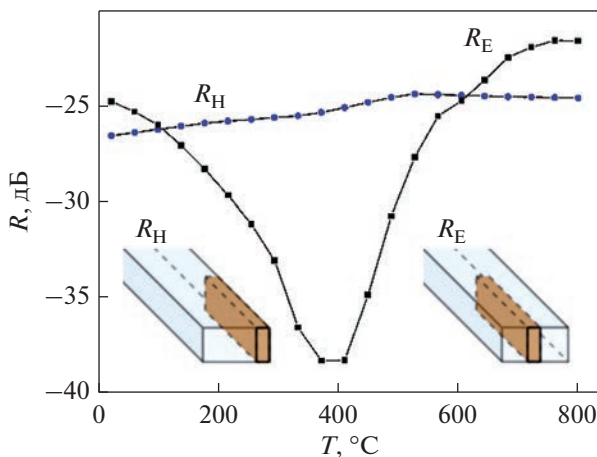


Рис. 5. Температурная зависимость отражения на частоте 2.45 ГГц. Положение образца показано на вставках.

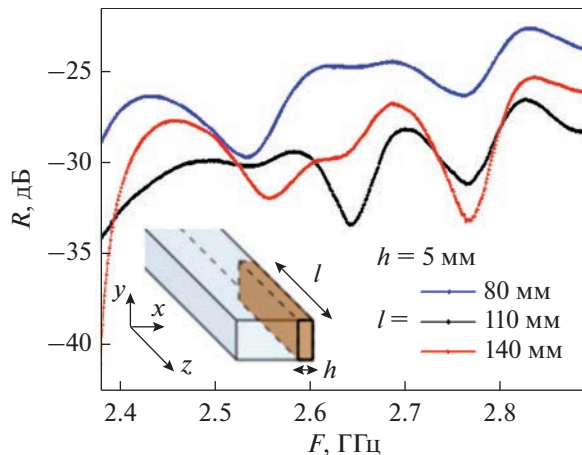


Рис. 7. Коэффициент отражения на частоте 2.45 ГГц для различной длины образца. Положение образца показано на вставке.

Константы A , B , C и D определяются матрицей передачи и импедансом линии, заполненной исследуемым материалом, при этом для образцов различной длины (рис. 5, 7) величина импеданса и постоянная распространения не меняются [21–23], поэтому можно проводить минимизацию по различным длинам образца с постоянной гамма.

РЕЗУЛЬТАТЫ ИЗМЕРЕНИЙ

Полученные резонаторным методом величины диэлектрической проницаемости приведены на рис. 6. С изменением температуры от 20 до 600°C наблюдается слабое, близкое к линейному увеличение диэлектрической проницаемости и потерь. Дальнейшие изменения этих величин носят нелинейный характер и, по-видимому связаны с восстановительными реакциями в исследуемом материале.

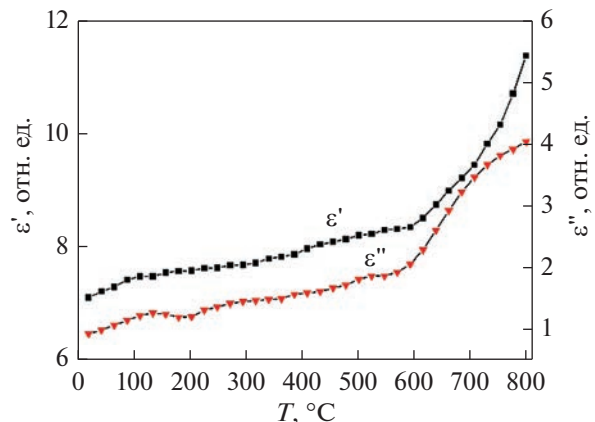


Рис. 6. Температурная зависимость диэлектрических проницаемости и потерь.

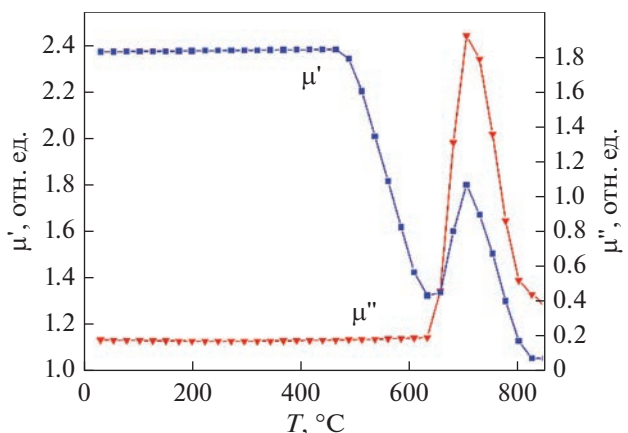


Рис. 8. Температурная зависимость магнитной проницаемости и потерь.

Значения коэффициентов отражения электромагнитных волн на частоте около 2.45 ГГц при нагреве образцов различной длины показаны на рис. 7.

Величину магнитной проницаемости и потерь для исследуемой смеси при комнатной температуре можно оценить, используя уравнение Бруггемана теории эффективной среды [8], известные размеры частиц, объемную долю фаз и известные данные о их свойствах. Для состава, параметры которого приведены в табл. 1, и частоты 2.45 ГГц вычисленное значение эффективной магнитной проницаемости составляет $\mu_{\text{eff}} = 2.37 - i0.18$.

Используя значения диэлектрической проницаемости, измеренные резонансным методом на частоте $F = 2.45$ ГГц для различных температур и начальное значение $\mu_{\text{eff}}^0 = 2.37 - i0.18$ для комнатной температуры ($T = 27^\circ\text{C}$), по данным отражения (рис. 7) была определена температурная зависимость магнитных проницаемости и потерь (рис. 8).

Таблица 1. Параметры смеси для расчета магнитной проницаемости методом теории эффективной среды

Фаза	V , отн. ед.	ϵ' , отн. ед.	σ , См/м	μ' , отн. ед.	μ'' , отн. ед.	d , мкм
ZnFe ₂ O ₄ [24]	0.078	7.50	0.17	1.2	0.6	30
Fe ₃ O ₄ [9]	0.545	57.36	1.20	3.2	0.2	2
Биоуголь с остальными фазами	0.266	270	2500	1	0	—
Поры	0.111	1	0	1	0	—

ЧИСЛЕННАЯ МОДЕЛЬ

Высокая эффективность микроволнового нагрева в промышленных установках обеспечивается согласованием импеданса на границе с обрабатываемым материалом. Для этих целей может быть использована стратегия “разбавления” его другими веществами с малым относительным показателем преломления, либо специальные дополнительные слои диэлектриков [19, 25]. В случае, когда сама обрабатываемая шихта сформирована в виде круглых гранул, целесообразно оценить отражательные и поглощающие свойства их плотной упаковки из нескольких слоев (рис. 9).

Численное моделирование распределения электромагнитного поля в плотноупакованной структуре из гранул и на ее границе с вакуумом было выполнено с использованием метода конечных элементов в программном пакете Comsol Multiphysics.

Падающую ЭМВ задавали электромагнитным портом, расположенным в вакууме на плоскости, нормальной границе каналов, с частотой $F = 2.45$ ГГц и мощностью $P = 1$ кВт. Непосредственно за последним слоем гранул были заданы условия полного отражения электромагнитного излучения (идеальный проводник).

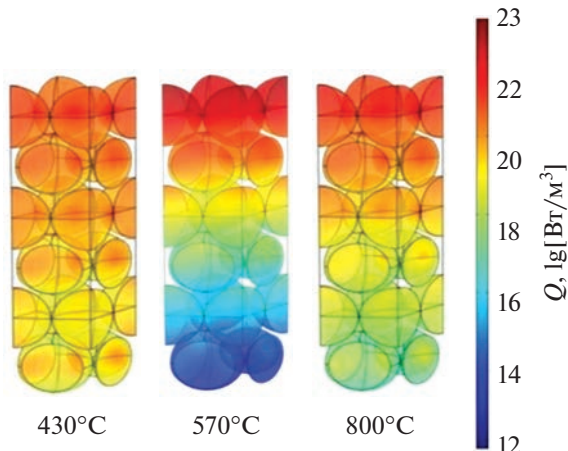


Рис. 9. Температурная зависимость поглощенной электромагнитной энергии на частоте 2.45 ГГц для плотной упаковки из гранул исследуемого композита.

Исследованы случаи одного, трех и шести слоев гранул с диаметром $D = 8$ мм. При помощи численного моделирования были получены температурные зависимости коэффициента отражения электромагнитных волн (рис. 10). При этом использованы значения комплексных материальных констант, полученные в предыдущем разделе.

Кроме того, были рассчитаны значения плотности поглощенного электромагнитного излучения в объеме гранул из различных слоев (рис. 11).

ОБСУЖДЕНИЕ

При нагреве композитного материала на базе пыли ДСП и восстановителя в нем происходит ряд физико-химических превращений (см. рис. 2). При относительно низких температурах $400 < T \leq 500^\circ\text{C}$ начинаются реакции восстановления соединений цинка ZnFe₂O₄/ZnO [8, 27]. Ввиду достаточно большой концентрации этих фаз и их сильного влияния на магнитные свойства всей смеси, действительная часть магнитной проницаемости значительно снижается (рис. 8) в интервале $500^\circ\text{C} \leq T \leq 650^\circ\text{C}$. Дальнейшие рост и падение магнитной проницаемости могут быть связаны с увеличением доли магнетита в результате диссоциации ZnFe₂O₄ и ферримагнитным фазовым переходом в нем [28]. При температурах выше 780°C

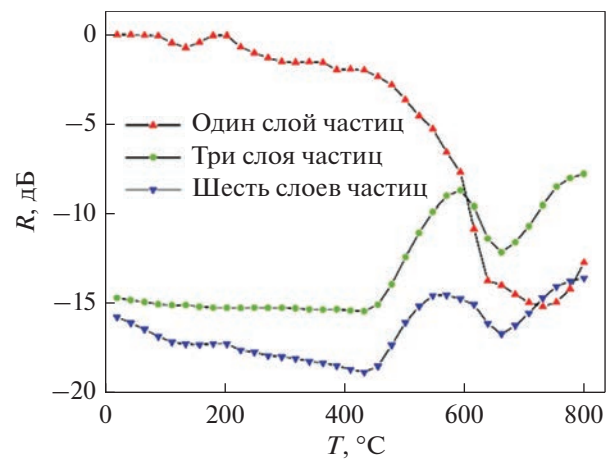


Рис. 10. Отражение электромагнитных волн от плотной упаковки из 1, 3 и 6 гранул исследуемого материала.

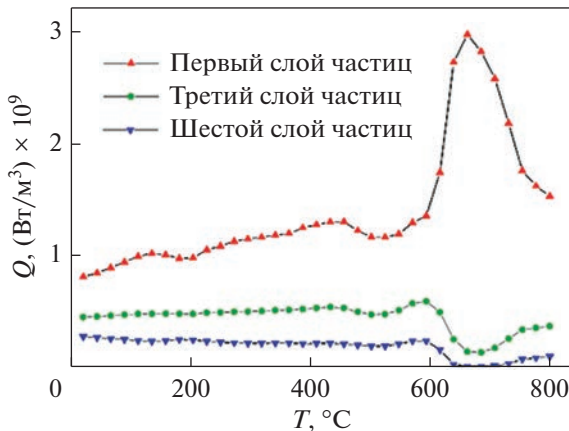


Рис. 11. Поглощение электромагнитных волн в гранулах из исследуемого материала.

наблюдается существенное уменьшение магнитной проницаемости и потерь, обусловленное восстановлением металлов в парамагнитной фазе. Изменение электрических свойств материала в интервале температур до 500°C, по всей видимости, обусловлено увеличением проводимости биоугля и близко к линейному (рис. 6). При дальнейшем увеличении температуры диэлектрическая проницаемость и потери испытывают влияние конкурирующих процессов, связанных с уменьшением доли биоугля – увеличением пористости материала с одной стороны и появлением восстановленных фаз с высокой проводимостью с другой.

Согласно результатам численного моделирования, изменение магнитной проницаемости при нагреве смеси оказывает существенное влияние на глубину проникновения и долю поглощенного электромагнитного излучения (рис. 9, 11). Максимум отражения (рис. 10), связанный с физико-химическими превращениями, наблюдается при нескольких слоях гранул при 570°C. В то же время один слой не оказывает достаточного влияния на отражение/поглощению электромагнитных волн при низких температурах, так как размер гранул, с учетом их материальных констант, сравним с длиной волны. При температуре $T > 600^\circ\text{C}$ коэффициент отражения уменьшается за счет роста магнитной проницаемости и уменьшения разности импедансов на границе частиц с окружающим пространством. Процесс восстановления сложных оксидов железа с другими элементами (рис. 2) и их высокая температура Кюри [28, 29] обуславливают дальнейшее изменение магнитной проницаемости вплоть до высокотемпературной границы измеренных значений.

Плотность поглощенного электромагнитного излучения уменьшается с глубиной слоя гранул в упаковке (рис. 11) как за счет отражения электро-

магнитных волн, так и ввиду их поглощения в предыдущих слоях. Так, при минимуме отражения $T = 660^\circ\text{C}$ величина электромагнитных потерь в гранулах шестого слоя также минимальна и составляет примерно 1/40 от значения при комнатной температуре.

ЗАКЛЮЧЕНИЕ

Электромагнитное излучение с частотой 2.45 ГГц может быть использовано для нагрева плотноупакованной структуры, состоящей из слоев гранул, изготовленных из смеси пыли ДСП, биоугля и связующего.

За счет измерения коэффициента отражения на частоте 2.45 ГГц можно охарактеризовать происходящие процессы восстановления металлов. При формировании насыпки из гранул исследуемого материала наблюдается уменьшение коэффициента отражения с увеличением количества слоев от 1 до 6. Однако физико-химические превращения существенно ограничивают эффективность микроволнового нагрева в последних слоях такой структуры.

Исследование выполнено при финансовой поддержке РФФИ и Государственного фонда естественных наук Китая в рамках научного проекта № 21-58-53044.

СПИСОК ЛИТЕРАТУРЫ

- Панышин А.М., Шакирзянов Р.М., Избрехт П.А. Основные направления совершенствования производства цинка на ОАО Челябинский цинковый завод // Цветные металлы. 2015. Т. 5. С. 19–21.
- Симонян Л.М., Демидова Н.В. Исследование процесса безуглеродного селективного извлечения цинка и свинца из пыли ДСП // Изв. Вузов. Черная металлургия. 2020. Т. 63. С. 631–638.
- Любов В.К., Попова Е.И., Попов А.Н. Торрефакция гидролизного лигнина // Химия твердого топлива. 2018. Т. 4. С. 24–33.
- Ye Q., Li G., Peng Z., Augustine R., Pérez M.D., Liu Y., Liu M., Rao M., Zhang Y., Jiang T. Microwave-assisted self-reduction of EAF dust-biochar composite briquettes for production of direct reduced iron // Powder Technol. 2020. V. 362. P. 781–789.
- Ryazanov A.G., Mikhailov G.G., Khmeleva O.V., Savina Y.D., Galimov D.M., Senin A.V. Investigation of dielectric heating method of zinc-containing materials for chlorides removal // IOP Conference Series: Earth and Environmental. 2021. V. 938. P. 012003.
- Xue Y., Hao X., Liu X., Zhang N. Recovery of Zinc and Iron from Steel Mill Dust—An Overview of Available Technologies // Materials. 2022. V. 15. P. 4127.
- Ye L., Peng Z., Ye Q., Wang L., Augustine R., Pérez M., Liu Y., Liu M., Tang H., Rao M., Li G. Toward environmentally friendly direct reduced iron production: A novel route of comprehensive utilization of blast fur-

- nace dust and electric arc furnace dust // Waste Management. 2021. V. 135. P. 389–396.
8. Anzulevich A., Butko L., Kalganov D., Pavlov D., Tolkachev V., Fedii A., Buchelnikov V., Peng Z. Optimization of the Microwave-Assisted Carbothermical Reduction Process for Metals from Electric Arc Furnace Dust with Biochar // Metals. 2021. V. 11. P. 1765.
 9. Hotta M., Hayashi M., Nishikata A., Nagata K. Complex permittivity and permeability of SiO_2 and Fe_3O_4 powders in microwave frequency range between 0.2 and 13.5 GHz // J. Iron Steel Institute. 2009. V. 49. P. 1443–1448.
 10. Huang J., Liu Y., Li Y., Liu X. Microwave electromagnetic and absorption properties of AFe_2O_4 ($\text{A} = \text{Ni}, \text{Mn}, \text{Zn}$) ferrites // In Proceedings of the International Conference on Manufacturing Construction and Energy Engineering (MCEE). 2016. V. 1. P. 17–18.
 11. Torsello D., Bartoli M., Giorcelli M., Rovere M., Arrigo R., Malucelli G., Tagliaferro A., Ghigo G. High frequency electromagnetic shielding by biochar-based composites // Nanomaterials. 2021. V. 11. P. 2383.
 12. Omran M., Fabritius T., Yu Y., Heikkilä E.P., Chen G., Kacar Y. Improving zinc recovery from steelmaking dust by switching from conventional heating to microwave heating // J. Sustain. Metal. 2021. V. 7. P. 15–26.
 13. Ye L., Peng Z., Wang L., Anzulevich A., Bychkov I., Kalganov D., Tang H., Rao M., Li G., Jiang T. Use of biochar for sustainable ferrous metallurgy // The J. Miner. Met. Mater. Soc. (TMS). 2019. V. 71. P. 3931–3940.
 14. Xiong L., Peng Z., Mao X., Wang J., Rao M., Zhang Y., Li G. Efficient Utilization of Carbon-Bearing Dusts in Composite Agglomeration Process for Iron Ore Sintering // J. Sustainable Metal. 2022. V. 8. P. 1065–1077.
 15. Omran M., Fabritius T. Effect of steelmaking dust characteristics on suitable recycling process determining: Ferrochrome converter (CRC) and electric arc furnace (EAF) dusts // Powder Techn. 2017. V. 308. P. 47–60.
 16. Anzulevich A.P., Butko L.N., Bychkov I.V., Buchelnikov V.D., Kalganov D.A., Pavlov D.A., Fedii A.A., Kharitonova O.G., Moiseev S.G. Dynamic magnetic losses in powders consisting of metallized dielectric particles at microwaves // J. Magn. Magn. Mater. 2017. V. 444. P. 307–312.
 17. Ye L., Peng Z., Wang L., Anzulevich A., Bychkov I., Tang H., Rao M., Zhang Y., Li G., Jiang T. Preparation of core-shell iron ore-biochar composite pellets for microwave reduction // Powder Techn. 2018. V. 338. P. 365–375.
 18. Пархоменко М.П., Каленов Д.С., Федосеев Н.А., Еремин И.С., Колесникова В.М., Ковтыков Д.А. Улучшенный резонаторный метод для измерения комплексной диэлектрической проницаемости материалов // Радиотехника и электроника. 2017. V. 62. P. 651–656.
 19. Peng Z., Hwang J.Y., Andriesse M. Absorber impedance matching in microwave heating // Appl. Phys. Express. 2012. V. 5. P. 077301.
 20. Button K., Lax B. Theory of ferrites in rectangular waveguides // IRE Trans. Antennas and Propagation. 1956. V. 4. P. 531–537.
 21. Enders A. An accurate measurement technique for line properties, junction effects, and dielectric and magnetic material parameters // IEEE Trans. Microwave Theory Techniques. 1989. V. 37. P. 598–605.
 22. Hasar U.C. A new microwave method based on transmission scattering parameter measurements for simultaneous broadband and stable permittivity and permeability determination // Progress In Electromagnetics Research. 2009. V. 93. P. 161–176.
 23. Hasar U.C. Accurate complex permittivity inversion from measurements of a sample partially filling a waveguide aperture // IEEE Trans. Microwave Theory Techniques. 2010. V. 58. P. 451–457.
 24. Huang J., Liu Y., Li Y., Liu X. Microwave electromagnetic and absorption properties of AFe_2O_4 ($\text{A} = \text{Ni}, \text{Mn}, \text{Zn}$) ferrites // In Proceedings of the International Conference on Manufacturing Construction and Energy Engineering (MCEE). Hong Kong, China. 2016. P. 17–18.
 25. Rybakov K.I., Semenov V.E., Egorov S.V., Eremeev A.G., Plotnikov I.V., Bykov Y.V. Microwave heating of conductive powder materials // J. Appl. Phys. 2006. V. 99. P. 023506.
 26. Курушин А.А. Использование каналов Флоке для моделирования периодическойnanoструктуры // Журнал радиоэлектроники. 2010. V. 11. P. 1–22.
 27. Wang L., Peng Z., Lin X., Ye Q., Ye L., Zhang J., Liu Y., Liu M., Rao M., Li G., Jiang T. Microwave-intensified treatment of low-zinc EAF dust: A route toward high-grade metallized product with a focus on multiple elements // Powder Technology. 2021. V. 383. P. 509–521.
 28. Buschow K.H.J. Concise Encyclopedia of Magnetic and Superconducting Materials. Elsevier Ltd., Kidlington, Oxford. 2001. p. 1339.
 29. Mazanek E., Wyderko M. Kinetics and Phase Transitions During Reduction of Low-Porous Iron Ores // Polska Akademia Nauk Prace Komunikata Metalurgia. 1974. V. 22. P. 55–64.